

УДК 681.516.7.015.2

## КЛАССИФИКАЦИЯ МОРСКИХ ОБЪЕКТОВ

**А. К. Розов,**

доктор техн. наук

Военно-морская академия им. Н. Г. Кузнецова

**М. Н. Бухарцев,**

доктор техн. наук, профессор

Федеральное Государственное унитарное предприятие «Первый центральный научно-исследовательский институт Министерства обороны России»

*Классификация морских объектов может быть осуществлена с использованием аппарата стохастических дифференциальных уравнений. Полученные в результате решения уравнений апостериорные вероятности гипотез находят применение в алгоритме принятия решений. Приводятся примеры, иллюстрирующие процедуру классификации.*

*Classification of sea objects can be carried out by using stochastic difference equation. Inverse probabilities obtained as solutions of these equations are applied to the decision-making algorithms. Examples of classification are provided.*

В настоящее время высказывается много предложений по использованию различий в параметрах эхо-сигналов для классификации объектов. Это различие в доплеровском сдвиге частот, различие в удлинении эхо-сигнала, ширине спектра, числе бликов в бликовом портрете целей и др. При этом каждый из признаков, как правило, работает только в «своих» условиях: доплеровский сдвиг частоты – при различии в относительных скоростях объектов, удлинение сигнала – при различии в протяженности объектов, уширение спектра – в случаях, когда есть то и другое различие и т. д. Для того чтобы они работали одновременно, алгоритм классификации должен учитывать связи между параметрами эхо-сигналов. А эти связи зависят, главным образом, от поведенческих характеристик объектов.

В свою очередь, поведенческие характеристики объектов определяются задачами, для решения которых они предназначены, и характером их поведения. По ряду причин поведенческие характеристики в определенной мере случайны, поскольку случайны параметры, их определяющие: координаты объекта – дистанция от объекта  $d$  и направление на него  $\varphi$ , а также элементы его движения – скорость  $v$  и курс  $q$ . Количественной мерой случайности является вероятностное распределение  $F_t(d, \varphi, v, q)$ , где  $t$  – время, прошедшее после начала движения локатора.

Поскольку локатор имеет дело не с данными, характеризующими движущийся объект, а с зависящими от них задержкой сигнала  $\Theta$  и значения-

ми его параметров  $\lambda_1, \dots, \lambda_n$ , то распределение  $F_t(d, \varphi, v, q)$  может быть с помощью детерминированных зависимостей  $\lambda_i = f_i(d, \varphi, v, q)$ ,  $i = 1, \dots, n$ , пересчитано в распределение  $F_t(\Theta, \lambda_1, \dots, \lambda_n)$ .

Далее следует классическая схема разрешения гипотез о том, чем является классифицируемый объект. При таком подходе все признаки (параметры), их связь между собой, а также зависимость от поведенческих характеристик можно представить одним функционалом – апостериорной вероятностью той или иной гипотезы относительно классифицируемого объекта.

Важно, что изложенный подход учитывает множественность признаков, а предлагаемые способы использования отдельных признаков могут быть получены как частные варианты этого общего подхода. Однако эффективность таких частных вариантов будет тем меньше, чем меньше параметров эхо-сигнала участвует в классификации.

Важно и другое. Существующие методы обработки наблюдаемых воздействий базируются на использовании корреляционно-спектральных подходов. Последние достаточны, если предполагать возможность непосредственного измерения параметров сигнала (см. примеры 2 и 3), но оказываются непригодными при наличии помех.

В условиях воздействия помех алгоритм классификации должен строиться с использованием аппарата стохастических дифференциальных уравнений. Этот математический аппарат обработки наблюдаемых воздействий пока еще не нашел практического применения, но за ним боль-



представим уравнением

$$d\eta_t = [A_0(\lambda, t) + A_1(\lambda, t)\Theta_t]dt + B(\lambda, t)dw_t^{(n)}.$$

Дифференциальное представление сигнала и наблюдаемых воздействий предопределяет построение процедуры классификации на дифференциальной основе.

Можно показать, что уравнения для одномерных вероятностей имеют вид

$$d\pi_l(t) = \frac{1}{B^2} \pi_l(t) \left[ A_l m_\Theta(t | F_l) - \sum_{j=1}^m A_j m_\Theta(t | F_j) \pi_j(t) \right] \times \\ \times \left[ d\eta_t - \sum_{j=1}^m A_j m_\Theta(t | F_j) \pi_j(t) dt \right]; \\ \pi_l(0) = P_l,$$

где  $m_\Theta(t | F_l) = [m_{\Theta 1}(t | F_l), \dots, m_{\Theta K}(t | F_l)]$ ,  $l = 1, \dots, m$  – вектор оценок текущих значений сигнала, вычисляемых с использованием уравнений Калмана – Бьюси.

В приведенные уравнения наблюдаемое воздействие  $\eta_t$  входит в виде дифференциала  $d\eta_t$ , а при их решении с помощью рекуррентных соотношений – в виде приращений

$$\Delta\eta_{t_k} = \eta_{t_{k+1}} - \eta_{t_k}.$$

Такой характер считывания обусловлен тем, что сам процесс

$$\eta_t = \int_0^t \Theta_s ds + Bw_t^{(n)}$$

нестационарен, в то время как приращения

$$\Delta\eta_{t_k} = \int_{t_k}^{t_{k+1}} \Theta_s ds + B(w_{t_{k+1}}^{(n)} - w_{t_k}^{(n)})$$

стационарны, хотя и требуют интегрирования наблюдаемых воздействий за время шага временной дискретизации

$$\Delta = t_{k+1} - t_k.$$

Необходимые значения  $B$ , входящие в уравнения в виде коэффициентов  $1/B^2$ , находятся в результате вычисления  $M(\Delta\eta_{t_k})^2$  и приравнивания его к  $B^2\Delta$ .

Нахождение оценок  $m_\Theta(t | F_l)$  возможно при дискретизации распределения  $F_l$ ,  $l = 1, \dots, m$ , что делает целесообразным изначально получать его в виде гистограммы. Последняя получается в результате розыгрыша элементов движения объекта и использования детерминированной зависимости от них параметров сигнала.

Может иметь место частный случай, когда помехи малы и возможно непосредственное измерение параметров сигнала без затраты времени наблюдения. В этом случае выбор гипотезы отно-

сительно принадлежности сигнала к одному из классов производится в результате нахождения апостериорной вероятности  $\pi_l(t)$ ,  $l = 1, 2$ , по формуле Баеса

$$\pi_l^{ij} = \frac{P(\lambda_{1i}, \lambda_{2j} | F_l)P(F_l)}{\sum_{K=1}^2 P(\lambda_{1i}, \lambda_{2j} | F_K)P(F_K)},$$

где  $\lambda_{1i}$ ,  $\lambda_{2j}$  – измеренные значения параметров сигнала, соответствующие клеткам двумерной гистограммы и сравнения  $\max_l \pi_l$  с границей  $\Gamma$ .

Наряду с гистограммным вычислением  $\pi_l^{ij}$  по формуле Байеса целесообразен аналитический вариант, когда гистограмма аппроксимируется непрерывным распределением, например, нормальным. В этом случае отпадает необходимость удержания в памяти ЭВМ гистограмм, достаточно иметь в памяти только моменты (математическое ожидание, дисперсию и т. д.).

**Проиллюстрируем сказанное примерами.**

Будем предполагать, что объекты имеют одинаковую длину  $L = 100$  м, отстоят от классификатора на расстояние 2000 м, а элементы движения равномерно распределены в интервалах

$$v_1 \in [5 \text{ м/с}, 15 \text{ м/с}], \\ q_1 \in [0^\circ, 90^\circ]; \\ v_2 \in [9 \text{ м/с}, 11 \text{ м/с}], \\ q_2 \in [0^\circ, 18^\circ].$$

**Пример 1.** Классификация объектов, для которых эхо-сигнал представляется высокочастотным процессом с дифференциалом

$$d\Theta_t = I_t dt; \\ dv_t = -(b_1 I_t + b_0 \Theta_t) dt + b_1^* \sqrt{\left( b_0^* - \frac{b_1^2}{4} \right)} C_1 dw_t^{(S)},$$

в котором параметры  $b_0$  и  $b_1$  определяются формулами

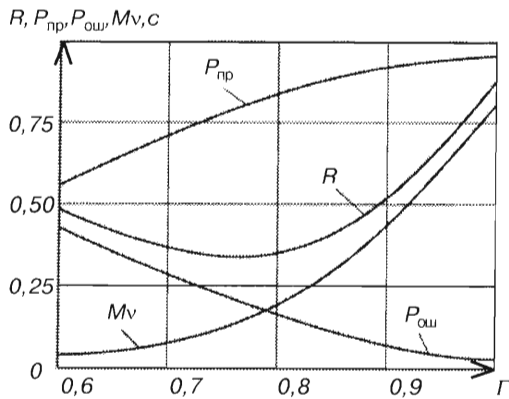
$$b_0 = \sqrt{v}; \\ b_1 = \Delta v_1,$$

где  $v$  – доплеровский сдвиг частоты;  $\Delta v_1$  – ширина спектра сигнала (см. пример 2).

Наблюдаемое воздействие  $\eta_t$  представляется дифференциалом

$$d\eta_t = \Theta_t dt + \sqrt{C_2} dw_t^{(n)}.$$

Выбор гипотезы относительно принадлежности сигнала к одному из классов (и соответственно, объектов) производится в результате решения приведенных уравнений для  $\pi_l(t)$  в двумерном варианте и сопоставления  $\max_l \pi_l(t)$  с границами областей принятия решений.



■ Рис. 1. Вероятность правильной ( $P_{пр}$ ) и ошибочной ( $P_{ош}$ ) классификации, затрачиваемого на классификацию времени ( $Mv$ ) и среднего риска ( $R$ ) в зависимости от границы ( $\Gamma$ ) областей принятия решений

Моделирование проводилось при  $C_1 = 1$  с и параметрах  $b_0$  и  $b_1$ , распределенных по нормальным законам:

$$N_1 \left[ 0,5b_0^*; 0,5b_1^*, \left( \frac{1}{4}b_0^* \right)^2, \left( \frac{1}{4}b_1^* \right)^2 \right];$$

$$N_2 \left[ b_0^*; b_1^*, \left( \frac{1}{4}b_0^* \right)^2, \left( \frac{1}{4}b_1^* \right)^2 \right],$$

$$b_0^* = 2518\pi^2 \text{ с}^{-2},$$

$$b_1^* = 6\pi \text{ с}^{-1},$$

$$P_1 = P_2 = \frac{1}{2}.$$

Помеха – белый шум с  $C_2 = 0,4$  с.

Результаты моделирования – зависимость вероятности правильной и ошибочной классификации, затрачиваемого времени  $Mv$  и среднего риска  $R = 0,1Mv + P_{ош}$  от границы областей принятия решений  $\Gamma$  – представлены на рис. 1.

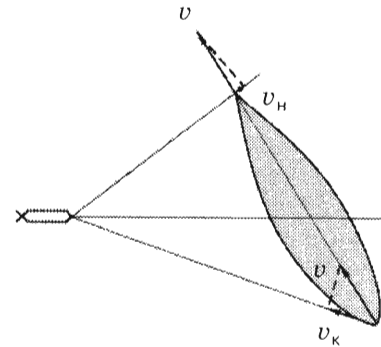
**Пример 2.** Классификация объектов, для которых возможно непосредственное измерение параметров сигнала – доплеровского сдвига частоты  $v$  и протяженности энергетического спектра  $\Delta v$ , определяемых формулами

$$v = \frac{2v \cos q \cdot f}{C_{зв}};$$

$$\Delta v = v_H - v_K,$$

где  $f$  – частота локатора, Гц (для расчетов принята равной 30 кГц);  $C_{зв} = 1500$  м/с – скорость звука в воде;  $v_H$  и  $v_K$  – доплеровские сдвиги частоты, обусловленные проекциями скорости  $v$  на концевые участки объектов –  $v_H$  и  $v_K$  (рис. 2).

В отличие от примера 1, в этом случае предполагается, что ходовая помеха, связанная с движением локатора, отсутствует или настолько мала,



■ Рис. 2. Схема вычисления скоростей концевых участков ( $v_H, v_K$ ) объекта, движущегося со скоростью  $v$

что ею можно пренебречь. Такая ситуация имеет место на сравнительно малых дистанциях до классифицируемых объектов.

Полученные в результате статистического эксперимента  $F_l(v, \Delta v)$ ,  $l = 1, 2$ , двумерные гистограммы были аппроксимированы двумерным нормальным распределением с моментами

№ объекта	$Mv$ , Гц	$Dv$ , Гц <sup>2</sup>	$M\Delta v$ , Гц	$D\Delta v$ , Гц <sup>2</sup>	$r$
1	38,2	$3,19 \times 10^4$	16,6	9,23	0,53
2	275	$1,49 \times 10^3$	13,5	1,2	-0,49

Из приведенных данных видно, что параметры эхо-сигналов от объекта с широким диапазоном изменения элементов движения распределены в весьма широких областях, в то время как параметры эхо-сигналов от объекта с суженным диапазоном группируются в локальных областях. Это определяет, как уже отмечалось, целесообразность использования байесовского подхода для решения задач классификации.

Вероятности правильной классификации  $P_{пр}$ , вычисленные по двум гистограммам и аналитически с аппроксимацией их нормальными распределениями, оказались равными  $P_{гист} = 0,95$  и  $P_{анпр} = 0,93$ . Проигрыш от введения аппроксимации оказался небольшим – 0,02. Вероятности  $P_{пр}$ , вычисленные с использованием одномерных гистограмм по  $v$  и  $\Delta v$ , оказались меньшими соответственно на 0,13 и 0,15.

**Пример 3.** Классификация объектов, для которых возможно непосредственное измерение параметров – доплеровского сдвига и удлинения сигнала  $\Delta l$ , определяемых формулами

$$v = \frac{2v \cos q \cdot f}{C_{зв}};$$

$$\Delta l = L \cos q.$$

Отличительной особенностью данного примера является то, что для классификации объектов

используются такие параметры сигнала ( $v, \Delta l$ ), которые не зависят от дистанции до классифицируемых объектов и от их угловой протяженности. Отсутствие необходимости учитывать дистанцию до классифицируемых объектов намного упрощает процедуру классификации.

Полученные в результате статистического эксперимента  $F_l(v, \Delta l)$ ,  $l = 1, 2$ , двумерные гистограммы были аппроксимированы двумерным нормальным распределением с моментами

№ объекта	$Mv, \text{Гц}$	$Dv, \text{Гц}^2$	$M\Delta l, \text{м}$	$D\Delta l, \text{м}^2$	$r$
1	276	$2,28 \cdot 10^4$	66,3	992	0,84
2	420	803	103	19,5	0,11

Вероятности правильной классификации ( $P_{\text{пр}}$ ), вычисленные по двумерным гистограммам и аналитически с аппроксимацией их нормальными распределениями, оказались равными  $P_{\text{гист}} = 0,95$  и  $P_{\text{аппр}} = 0,89$ . Проигрыш от введения аппрокси-

мации оказался равным 0,06. Вероятности  $P_{\text{пр}}$ , вычисленные с использованием одномерных гистограмм по  $v$  и  $\Delta l$ , оказались меньшими соответственно на 0,15 и 0,18.

Таким образом, теоретически обоснована и подтверждена моделированием перспективность байесовского подхода для составления алгоритмов, обеспечивающих высокую (0,8–0,9) вероятность правильной классификации объектов.

### Литература

1. Калман Р. Е., Бьюси Р. С. Новые результаты в линейной фильтрации и теория предсказания / Пер. с англ. // Техническая механика. – № 83. Сер. Д. 1, 1961. – С. 95–107.
2. Липцер Р. Ш., Ширяев А. Н. Статистика случайных процессов. – М.: Наука, 1974. – 696 с.
3. Скороход А. В. Асимптотические методы теории стохастических дифференциальных уравнений. – Киев: Наукова думка, 1987.
4. Роббинс Г., Сигмунд Д., Чао И. Теория оптимальных правил остановки / Пер. с англ. – М.: Наука, 1975. – 168 с.
5. Эллиот Р. Стохастический анализ и его приложения. – М.: Мир, 1986.

**В. Я. Мамаев, А. Н. Синяков, К. К. Петров, Д. А. Горбунов**  
**Воздушная навигация и элементы самолетовождения: Учеб. пособие /**  
**СПб.: СПбГУАП, 2002. – 256 с.: ил. ISBN 5-8088-077-3**

Учебное пособие является усеченной бумажной версией электронного учебного пособия и содержит основной теоретический материал предметной области – воздушной навигации. Оно предназначено для самостоятельного изучения дисциплины, снабжено тестовыми заданиями и контрольными задачами, обеспечивающими самоконтроль приобретенных знаний.

Предназначено для студентов и курсантов авиационных специальностей вузов.

